

$$a = 3, \, b = 0$$

## Άσκηση 1

```
In [ ]: %matplotlib inline
import matplotlib.pyplot as plt
import numpy as np
import math
class color:
    BOLD = '\033[1m'
    END = '\033[0m'
```

$$f = 10^{a+2} = 10^{3+2} = 10^5 \, (Hz) = 100 \, (kHz)$$
$$E_x = 0.5(b+1) = 0.5(0+1) = 0.5 \, (\frac{V}{m})$$

```
In [ ]: c_0 = 299792458
μ_0 = 4*np.pi*10**(-7)
ε_0 = 8.854*10**(-12)
μ_r = 1
ε_r = 4
f = 10**5
E_x = 0.5
```

$$\alpha) \, \Phi\alpha\sigma\iota\kappa\acute{\eta} \, \tau\alpha\chi\acute{\upsilon}\pi\eta\tau\alpha \, (\frac{m}{s}) :$$

$$v_p = \frac{\omega}{\beta} = \frac{\omega}{\omega\sqrt{\mu\varepsilon}} = \frac{1}{\sqrt{\mu\varepsilon}}$$
$$\mu = \mu_r\mu_0, \, \varepsilon = \varepsilon_r\varepsilon_0$$

$$Αφού \, το \, κύμα \, διαδίδεται \, στον \, ελεύθερο \, χώρο, \, \mu_r = 1 \, και \, \varepsilon_r = 1 :$$

$$v_p = \frac{1}{\sqrt{\mu_0\varepsilon_0}} = \frac{1}{\sqrt{4\pi 10^{-7} \cdot 8,854 \cdot 10^{-12}}} \approx c_0$$

```
In [ ]: v_p1 = 1/np.sqrt(μ_0*ε_0)
print (color.BOLD + 'v_p1 =', '%.2f' % v_p1, 'm/s' + color.END)
```

$$v_{p1} = 299795637.69 \, m/s$$

$$v_p = 299795637.69 \, \frac{m}{s}$$

$$\Phi\alpha\sigma\iota\kappa\acute{\eta} \, \tau\alpha\chi\acute{\upsilon}\pi\eta\tau\alpha \, (\frac{m}{s}),$$

$$\gamma\iota\alpha \, \varepsilon_r = 4 \, και \, \mu_r = 1 :$$

$$v_p' = \frac{1}{\sqrt{\mu_r\mu_0\varepsilon_r\varepsilon_0}} = \frac{1}{\sqrt{1 \cdot 4\pi 10^{-7} \cdot 4 \cdot 8,854 \cdot 10^{-12}}}$$

```
In [ ]: v_p2 = 1/np.sqrt(μ_r*μ_0*ε_r*ε_0)
print (color.BOLD + 'v_p2 =', '%.2f' % v_p2, 'm/s' + color.END)
```

$$v_{p2} = 149897818.85 \, m/s$$

$$v_p' = 149897818.85 \, \frac{m}{s}$$

$$Μήκος \, κύματος \, (m) :$$

$$\lambda = \frac{2\pi}{\beta} = \frac{2\pi}{\omega\sqrt{\mu\varepsilon}} = \frac{2\pi}{2\pi f\sqrt{\mu_0\varepsilon_0}} = \frac{1}{f\sqrt{\mu\varepsilon}} = \frac{1}{f\sqrt{\mu_0\varepsilon_0}} \approx \frac{c_0}{f}$$

```
In [ ]: λ1 = 1/(f*np.sqrt(μ_0*ε_0))
print (color.BOLD + 'λ1 =', '%.2f' % λ1, 'm', '=', '%.3f' % (λ1/10**3), 'km' + color.END)
```

$$\lambda 1 = 2997.96 \, m = 2.998 \, km$$

$$\lambda = 2.998 \, km$$

$$Μήκος \, κύματος \, (m),$$

$$\gamma\iota\alpha \, \varepsilon_r = 4 \, και \, \mu_r = 1 :$$

$$\lambda' = \frac{1}{f\sqrt{\mu_r\mu_0\varepsilon_r\varepsilon_0}}$$

```
In [ ]: λ2 = 1/(f*np.sqrt(μ_r*μ_0*ε_r*ε_0))
print (color.BOLD + 'λ2 =', '%.2f' % λ2, 'm', '=', '%.3f' % (λ2/10**3), 'km' + color.END)
```

$$\lambda 2 = 1498.98 \, m = 1.499 \, km$$

$$\lambda' = 1.499 \, km$$

$$\Sigma\tau\alpha\theta\epsilon\rho\acute{\alpha} \, \delta\iota\acute{\alpha}\delta\omicron\sigma\eta\varsigma \, (\frac{rad}{m}) :$$

$$\beta = \omega\sqrt{\mu\varepsilon} = 2\pi f\sqrt{\mu\varepsilon} = 2\pi f\sqrt{\mu_0\varepsilon_0}$$

```
In [ ]: β1 = 2*np.pi*f*np.sqrt(μ_0*ε_0)
print (color.BOLD + 'β1 =', '%.6f' % β1, 'rad/m' + color.END)
```

$$\beta 1 = 0.002096 \, rad/m$$

$$\beta = 0.002096 \, \frac{rad}{m}$$

$$\Sigma\tau\alpha\theta\epsilon\rho\acute{\alpha} \, \delta\iota\acute{\alpha}\delta\omicron\sigma\eta\varsigma \, (\frac{rad}{m}),$$

$$\gamma\iota\alpha \, \varepsilon_r = 4 \, και \, \mu_r = 1 :$$

$$\beta' = 2\pi f\sqrt{\mu_r\mu_0\varepsilon_r\varepsilon_0}$$

```
In [ ]: β2 = 2*np.pi*f*np.sqrt(μ_r*μ_0*ε_r*ε_0)
print (color.BOLD + 'β2 =', '%.6f' % β2, 'rad/m' + color.END)
```

$$\beta 2 = 0.004192 \, rad/m$$

$$\beta' = 0.004192 \, \frac{rad}{m}$$

β) Χαρακτηριστική αντίσταση μέσου διάδοσης (Ω) :

$$Z_w = \sqrt{\frac{i\omega\mu}{\sigma + i\omega\varepsilon}} = \sqrt{\frac{i\omega\mu}{i\omega\varepsilon}} = \sqrt{\frac{\mu}{\varepsilon}} = \sqrt{\frac{\mu_0}{\varepsilon_0}} = \eta_0$$

```
In [ ]: Z_w1 = np.sqrt(μ_0/ε_0)
print (color.BOLD + 'Z_w1 =', '%.1f' % Z_w1, 'Ω' + color.END)

Z_w1 = 376.7 Ω

Z_w = 376.7 Ω
```

Χαρακτηριστική αντίσταση μέσου διάδοσης (Ω),

για  $\varepsilon_r = 4$  και  $\mu_r = 1$  :

$$Z'_w = \sqrt{\frac{\mu}{\varepsilon}} = \sqrt{\frac{\mu_r\mu_0}{\varepsilon_r\varepsilon_0}} = \eta$$

```
In [ ]: Z_w2 = np.sqrt((μ_r*μ_0)/(ε_r*ε_0))
print (color.BOLD + 'Z_w2 =', '%.1f' % Z_w2, 'Ω' + color.END)

Z_w2 = 188.4 Ω

Z'_w = 188.4 Ω
```

γ) Πλάτος μαγνητικού πεδίου ( $\frac{A}{m}$ ) :

$\vec{E} = |E_x| e^{-i\beta z} \hat{x}$ , στο πεδίο των συχνοτήτων

$$\nabla \times \vec{E} = -i\omega\mu\vec{H} \Rightarrow \vec{H} = -\frac{\nabla \times \vec{E}}{i\omega\mu}$$

$$\nabla \times \vec{E} = \begin{vmatrix} \hat{x} & \hat{y} & \hat{z} \\ \frac{\partial}{\partial x} & \frac{\partial}{\partial y} & \frac{\partial}{\partial z} \\ \vec{E}_x & \vec{E}_y & \vec{E}_z \end{vmatrix} = \left(\frac{\partial \vec{E}_z}{\partial y} - \frac{\partial \vec{E}_y}{\partial z}\right) \cdot \hat{x} - \left(\frac{\partial \vec{E}_z}{\partial x} - \frac{\partial \vec{E}_x}{\partial z}\right) \cdot \hat{y} + \left(\frac{\partial \vec{E}_y}{\partial x} - \frac{\partial \vec{E}_x}{\partial y}\right) \cdot \hat{z} =$$

$$-\left(-\frac{\partial \vec{E}_x}{\partial z}\right) \cdot \hat{y} = -i\beta |E_x| e^{-i\beta z} \cdot \hat{y} \Rightarrow$$

$$\vec{H} = -\frac{-i\beta |E_x| e^{-i\beta z}}{i\omega\mu} \cdot \hat{y} = \frac{i\omega\sqrt{\mu\varepsilon} |E_x| e^{-i\beta z}}{i\omega\mu} \cdot \hat{y} = \sqrt{\frac{\varepsilon}{\mu}} |E_x| e^{-i\beta z} \cdot \hat{y} = \sqrt{\frac{\varepsilon_0}{\mu_0}} |E_x| e^{-i\beta z} \cdot \hat{y}$$

$$|\vec{H}| = \sqrt{\frac{\varepsilon_0}{\mu_0}} |E_x| = \frac{|E_x|}{\eta_0}$$

```
In [ ]: H_nab1 = np.sqrt(ε_0/μ_0)*E_x
print (color.BOLD + 'H_nab1 =', '%.5f' % H_nab1, 'A/m', '=', '%.2f' % (H_nab1*1000), 'mA/m' + color.END)

H_nab1 = 0.00133 A/m = 1.33 mA/m

|H̃| = 1.33  $\frac{mA}{m}$ 
```

Πλάτος μαγνητικού πεδίου ( $\frac{A}{m}$ ),

για  $\varepsilon_r = 4$  και  $\mu_r = 1$  :

$$|\vec{H}'| = \sqrt{\frac{\varepsilon_r\varepsilon_0}{\mu_r\mu_0}} |E_x| = \frac{|E_x|}{\eta}$$

```
In [ ]: H_nab2 = np.sqrt((ε_r*ε_0)/(μ_r*μ_0))*E_x
print (color.BOLD + 'H_nab2 =', '%.5f' % H_nab2, 'A/m', '=', '%.2f' % (H_nab2*1000), 'mA/m' + color.END)

H_nab2 = 0.00265 A/m = 2.65 mA/m

|H̃'| = 2.65 mA/m
```

δ) Πόλωση κύματος :

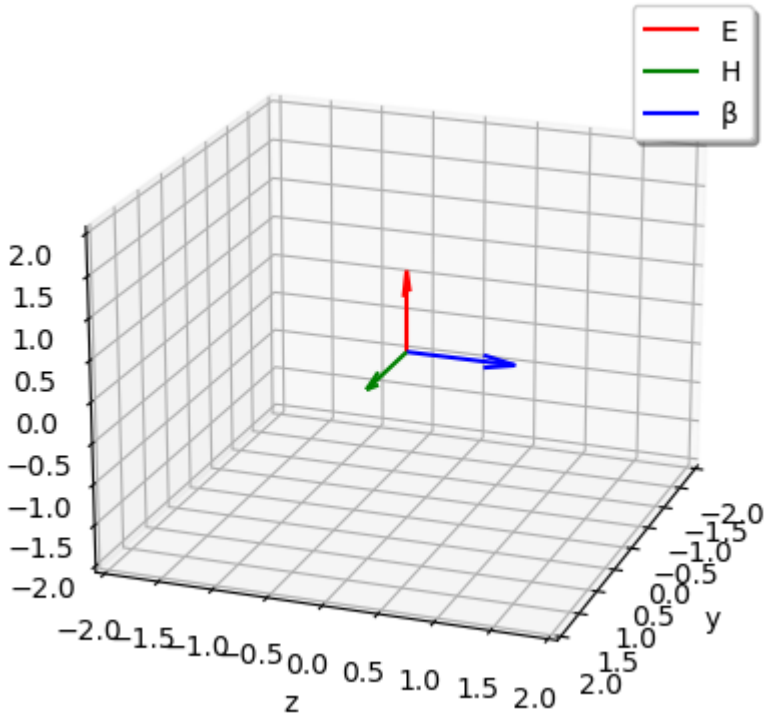
Η σταθερά διάδοσης  $\vec{\beta}$  έχει κατεύθυνση τον άξονα  $z$  ( $e^{-i\beta z}$ ),

η ένταση του ηλεκτρικού πεδίου  $\vec{E}$  έχει κατεύθυνση τον άξονα  $x$  (από την εκφώνηση)

και η ένταση του μαγνητικού πεδίου  $\vec{H}$  έχει κατεύθυνση τον άξονα  $y$ .

```
In [ ]: β = [0, 0, 1]
E = [1, 0, 0]
H = [0, 1, 0]
```

```
In [ ]: fig = plt.figure()
ax = plt.axes(projection = '3d')
ax.set_xlim([-2, 2])
ax.set_ylim([-2, 2])
ax.set_zlim([-2, 2])
start = [0, 0, 0]
ax.quiver(start[0], start[1], start[2], β[0], β[1], β[2], color = 'r', label = "E")
ax.quiver(start[0], start[1], start[2], E[0], E[1], E[2], color = 'g', label = "H")
ax.quiver(start[0], start[1], start[2], H[0], H[1], H[2], color = 'b', label = "β")
ax.set_xlabel('y')
ax.set_ylabel('z')
ax.set_zlabel('x')
ax.view_init(20, 20)
plt.legend(loc = "best", shadow = True)
#plt.axis('off')
plt.show()
```



ε) Μία κεραία πρέπει να έχει πόλωση ίδια με αυτή του εκάστοτε προς εξέταση Η/Μ κύματος, ώστε να μπορεί να το ανιχνεύσει ή να το μεταδώσει.  
Το μήκος της πρέπει επίσης να είναι ίδιο με το μήκος κύματος του σήματος που επιθυμούμε να λάβει ή να αποστείλει.

στ) Με συχνότητα  $f = 100kHz$ , το Η/Μ κύμα που εξετάζουμε βρίσκεται στην περιοχή των χαμηλών συχνοτήτων (*Low Frequency, LF*), οπότε αναφερόμαστε σε κύμα επιφανειακής ή ιονοσφαιρικής μετάδοσης.  
Θα το χρησιμοποιούσαμε για μεταδόσεις χαμηλών απαιτήσεων (σε σχέση με το εύρος ζώνης) σε πολύ μεγάλες αποστάσεις, καθώς τα σήματα χαμηλών συχνοτήτων αλληλεπιδρούν πολύ λιγότερο με μέσο διάδοσής τους, έχουν δηλαδή λιγότερες απώλειες, σε σχέση με σήματα υψηλότερων συχνοτήτων και μπορούμε να τα τροφοδοτήσουμε με πολύ μεγάλη ισχύ.  
Θα μπορούσαν να χρησιμοποιηθούν για παράδειγμα σε ραδιοφωνικές μεταδόσεις χαμηλής ποιότητας πολύ μεγάλων αποστάσεων ή παλαιότερα σε επικοινωνίες και πλοήγηση πλοίων.

## Άσκηση 2

Εγκάρσια διατομή δορυφόρου :  $A_{R\delta} = (5 + a) = (5 + 3) = 8 \text{ (m}^2\text{)}$

Κέρδος κεραίας εκπομπής :  $G_T = 20b = 20 \cdot 0 = 0 \text{ (dB)}$

Κέρδος κεραίας λήψεως :  $G_R = 2(a + 1) = 2(3 + 1) = 2 \cdot 4 = 8 \text{ (dB)}$

$$x_{dB} = 10\log(x_W) \Rightarrow x_W = 10^{\frac{x_{dB}}{10}}$$

Συχνότητα λειτουργίας :  $f = 5 \text{ (GHz)}$

εταδιδόμενη ισχύς :  $W_T = \frac{100}{b + 1} = \frac{100}{0 + 1} = 100 \text{ (kW)}$

Θερμοκρασία κεραίας λήψεως :  $T_R = 25 \text{ (K)}$

Απόσταση κεραίας εκπομπής από το δέκτη :  $d_1 = 2000 + 10a = 2000 + 10 \cdot 3 = 2030 \text{ (m)}$

Απόσταση κεραίας λήψεως από το δέκτη :  $d_2 = 200 + 1000b = 200 + 1000 \cdot 0 = 200 \text{ (m)}$

Εύρος ζώνης δέκτη :  $BW_R = a + 1 = 3 + 1 = 4 \text{ (kHz)}$

α) Λόγος σήματος προς θόρυβο στην έξοδο της κεραίας δέκτη :  $SNR_R = \frac{S}{N} = \frac{W_R}{N}$

Εξίσωση *Friis* για κεραία εκπομπής και παθητικό δορυφόρο :  $W_{R\delta} = A_{R\delta} \frac{W_T G_T}{4\pi d_1^2}$

Για παθητικό δορυφόρο και κεραία λήψης :  $W_R = A_R \frac{W_{T\delta} G_{T\delta}}{4\pi d_2^2}$

$$G_{T,R} = \frac{4\pi}{\lambda^2} A_{T,R} \Rightarrow G_{R\delta} = G_{T\delta} = \frac{4\pi}{\lambda^2} A_{R\delta} \Rightarrow A_{R\delta} = \frac{\lambda^2}{4\pi} G_R$$

$$W_R = W_{T\delta} \frac{G_{T\delta}}{4\pi d_2^2} A_{R\delta} = \frac{W_T G_T}{4\pi d_1^2} A_{R\delta} \cdot \frac{\frac{4\pi}{\lambda^2} A_{R\delta}}{4\pi d_2^2} \cdot \frac{\lambda^2}{4\pi} G_R = \frac{W_T G_T G_R A_{R\delta}^2}{(4\pi)^2 (d_1 d_2)^2},$$

$N = k_B T_R BW_R$ , σταθερά *Boltzmann* :  $k_B = 1.380649 \cdot 10^{-23} \text{ (}\frac{m^2 kg}{s^2 K}\text{)}$

```
In [ ]: σ = A_Rδ = 8
# Log(1) = 0
G_T_dB = 0
G_T = 10**((G_T_dB)/10)
# G_R_dB = 10Log(G_R)
G_R_dB = 8
G_R = 10**((G_R_dB)/10)
# λ = 2π/θ
f = 5*10**9
λ = 1/(np.sqrt(μ_0*ε_0)*f)
W_T = 100*10**3
T_R = 25
d_1 = 2030
d_2 = 200
BW_R = 4*10**3
k_B = 1.380649*10**(-23)
print (color.BOLD + 'G_R =', '%.2f' % (G_R) + color.END)
print (color.BOLD + 'G_T =', '%.0f' % (G_T) + color.END)
print (color.BOLD + 'λ =', '%.5f' % λ, 'm', '=' , '%.2f' % (λ*10**3), 'mm' + color.END)
```

G\_R = 6.31  
G\_T = 1  
λ = 0.05996 m = 59.96 mm

G\_R = 6.31  
G\_T = 1  
λ = 59.96 mm

```
In [ ]: W_R = (W_T*G_T*G_R*A_Rδ**2)/((4*np.pi)**2*(d_1*d_2)**2)
print (color.BOLD + 'W_R =', W_R, 'W', '=' , '%.2f' % (W_R*10**6), 'μW' + color.END)
W_R_dB = 10*math.log10(W_R)
print (color.BOLD + 'W_R_dB =', '%.2f' % W_R_dB, 'dB' + color.END)
```

W\_R = 1.5513442444747373e-06 W = 1.55 μW  
W\_R\_dB = -58.09 dB  
 $W_R = 1.55 \mu W$   
 $W_{R_{dB}} = -58.09 \text{ dB}$

```
In [ ]: N = k_B*T_R*BW_R
print (color.BOLD + 'N =', N, 'W', '=' , '%.2f' % (N*10**18), 'aW' + color.END)
N_dB = 10*math.log10(N)
print (color.BOLD + 'N_dB =', '%.2f' % N_dB, 'dB' + color.END)
```

N = 1.3806490000000001e-18 W = 1.38 aW  
N\_dB = -178.60 dB  
 $N = 1.38 \text{ aW}$   
 $N_{dB} = -178.60 \text{ dB}$

```
In [ ]: SNR_R_dB = W_R_dB - N_dB
print (color.BOLD + 'SNR_R_dB =', '%.2f' % SNR_R_dB, 'dB' + color.END)
SNR_R = 10**((SNR_R_dB)/10)
print (color.BOLD + 'SNR_R =', '%.2f' % (SNR_R/10**12), 'e12' + color.END)
```

SNR\_R\_dB = 120.51 dB  
SNR\_R = 1.12 e12  
 $SNR_{R_{dB}} = 120.51 \text{ dB}$   
 $SNR_R = 1.12 \cdot 10^{12}$

$$??? \; W_R = W_T \frac{G_T G_R \sigma \lambda^2}{(4\pi)^2 d_1^2 d_2^2} \; ???$$

Ισχύει ο τύπος *Radar* που αντιστοιχεί σε τηλεπικοινωνιακό σύστημα στη συγκεκριμένη περίπτωση;

```
In [ ]: #W_R = (W_T*G_T*G_R*σ*λ**2)/((4*ηp.pi)**2*d_1**2*d_2**2)
        #print (W_R)
        #SNR_R = W_R/N
        #print (SNR_R)
        #SNR_R_dB = 10*math.Log10(SNR_R)
        #print ('SNR_R_dB =', '%.2f' % SNR_R_dB, 'dB')
```

β) Σε ποιά απόσταση  $d_2'$  πρέπει να τοποθετηθεί ο δέκτης ώστε να επιτευχθεί:  $SNR_R' = 2SNR_R$ ;

$$W_R' = \frac{W_T G_T G_R A_{R\delta}^2}{(4\pi)^2 (d_1 d_2')^2} \Rightarrow d_2' = \sqrt{\frac{W_T G_T G_R A_{R\delta}^2}{(4\pi)^2 d_1^2 W_R'}}$$

$$W_R' = SNR_{R'} \cdot N \Rightarrow d_2' = \sqrt{\frac{W_T G_T G_R A_{R\delta}^2}{(4\pi)^2 d_1^2 SNR_{R'} \cdot N}}$$

```
In [ ]: SNR_R_dB2 = 2*SNR_R_dB
        SNR_R2 = 10**(SNR_R_dB2/10)
        print (color.BOLD + 'SNR_R_dB2 =', '%.2f' % SNR_R_dB2, 'dB' + color.END)
        print (color.BOLD + 'SNR_R2 =', '%.2f' % (SNR_R2/10**24), 'e24' + color.END)
```

SNR\_R\_dB2 = 241.01 dB  
SNR\_R2 = 1.26 e24

$SNR_{R_{dB}2} = 241.01\; dB$

$SNR_{R2} = 1.26 \cdot 10^{24}$

```
In [ ]: d_22 = np.sqrt((W_T*G_T*G_R*A_Rδ**2)/(((4*ηp.pi)**2)*d_1**2*SNR_R2*N))
        print (color.BOLD + 'd_22 =', '%.2f' % (d_22*10**6), 'μm' + color.END)
```

d\_22 = 188.68 μm

$d_2' = 188.68\; \mu m$

Η κεραία δέκτηη πρέπει να τοποθετηθεί στα 188.68 μm.

Η απόσταση είναι τόσο μικρή, που θεωρούμε το αποτέλεσμα μη αποδεκτό.

Θα ήταν πιο συνετό να χρησιμοποιήσουμε ενσύρματη ζεύξη, παρά ασύρματη.

γ) Ποιά θα πρέπει να είναι η ελάχιστη εκπεμπόμενη ισχύς  $W_T'$  ώστε να λάβει ο δέκτης  $SNR_R$ ”=  $\frac{1}{2} \cdot SNR_R$ ;

$$W_R'' = \frac{W_T' G_T G_R A_{R\delta}^2}{(4\pi)^2 (d_1 d_2')^2} \Rightarrow W_{T_{min}}' = \frac{W_R'' (4\pi)^2 (d_1 d_2')^2}{G_T G_R A_{R\delta}^2}$$

$$W_R'' = SNR_{R''} \cdot N \Rightarrow W_{T_{min}}' = \frac{SNR_{R''} \cdot N (4\pi)^2 (d_1 d_2')^2}{G_T G_R A_{R\delta}^2}$$

```
In [ ]: SNR_R_dB3 = SNR_R_dB/2
        SNR_R3 = 10**(SNR_R_dB3/10)
        print (color.BOLD + 'SNR_R_dB3 =', '%.2f' % SNR_R_dB3, 'dB' + color.END)
        print (color.BOLD + 'SNR_R3 =', '%.2f' % (SNR_R3/10**6), 'e6' + color.END)
```

SNR\_R\_dB3 = 60.25 dB  
SNR\_R3 = 1.06 e6

$SNR_{R_{dB}}'' = 60.25\; dB$

$SNR_R'' = 1.06 \cdot 10^6$

```
In [ ]: W_T2min = (SNR_R3*N*(4*ηp.pi)**2*(d_1*d_22)**2)/(G_T*G_R*A_Rδ**2)
        print (color.BOLD + 'W_T2min =', '%.2f' % (W_T2min*10**15), 'fW' + color.END)
        W_T2min_dB = 10*math.log10(W_T2min)
        print (color.BOLD + 'W_T2min_dB =', '%.2f' % W_T2min_dB, 'dB' + color.END)
```

W\_T2min = 83.96 fW  
W\_T2min\_dB = -130.76 dB

$W_{T_{min}}' = 83.96\; fW$

$W_{T_{min_{dB}}}'' = -130.76\; dB$

Ελάχιστη εκπεμπόμενη ισχύς 84 fW.

## Άσκηση 3

*Radar* :  $f = 3GHz$ ,  $W_T = 2.1kW$ ,  $G_T = 35dB$

Ποιά θα πρέπει να είναι η ευαισθησία του *Radar* ώστε να μπορεί να ανιχνεύει αεροσκάφη με ισοδύναμη επιφάνεια  $\sigma = 40$ ,

σε απόσταση μέχρι και  $d_{max} = 60$ μίλια;

$$W_{Rαεροσκάφους} = \sigma \Phi(d_1) = \sigma \frac{W_{TRadar} G_{TRadar}}{4\pi d_1^2} = W_{TRadar} \frac{A_{TRadar} \sigma}{\lambda d_1^2}, \; G_{T,R} = \frac{4\pi}{\lambda^2} A_{T,R}$$

$$W_{RRadar} = \frac{W_{TRadar} G_{TRadar} \sigma}{(4\pi)^2 (d_1 d_2)^2} A_{RRadar} \Rightarrow W_{TRadar} \frac{G_{TRadar} G_{RRadar} \sigma \lambda^2}{(4\pi)^3 (d_1 d_2)^2} =$$

$$W_{TRadar} \frac{G^2 \sigma \lambda^2}{(4\pi)^3 d^4}, \; d_1 = d_2, \; G_{TRadar} = G_{RRadar}$$

$$W_{R,min} = W_T \frac{G^2 \sigma \lambda^2}{(4\pi)^3 d_{max}^4}$$

```
In [ ]: f = 3*10**9
        λ = 1/(ηp.sqrt(μ_0*ε_0)*f)
        print (color.BOLD + 'λ =', '%.2f' % (λ*10**3) , 'mm' + color.END)
        W_T = 2.1*10**3
        G_T_dB = 35
        G_T = 10**(G_T_dB/10)
        print (color.BOLD + 'G_T =', '%.3f' % G_T , 'W' + color.END)
        σ = 40
        d_max = 60*1.609344*10**3
        print (color.BOLD + 'd_max =', '%.0f' % d_max, 'm' + color.END)
```

λ = 99.93 mm  
G\_T = 3162.278 W  
d\_max = 96561 m

$\lambda = 99.93\text{ mm}$   
 $G_T = 3162.278\text{ W}$   
 $d_{max} = 96561\text{ m}$

```
In [ ]: W_Rmin = (W_T*G_T**2*σ*λ**2)/((4*np.pi)**3*(d_max)**4)
print (color.BOLD + 'W_Rmin =', '%.2f' % (W_Rmin*10**15), 'fW' + color.END)
W_Rmin_dBm = 10*math.log10(1000*W_Rmin)
print (color.BOLD + 'W_Rmin_dBm =', '%.2f' % W_Rmin_dBm, 'dBm' + color.END)

W_Rmin = 48.62 fW
W_Rmin_dBm = -103.13 dBm

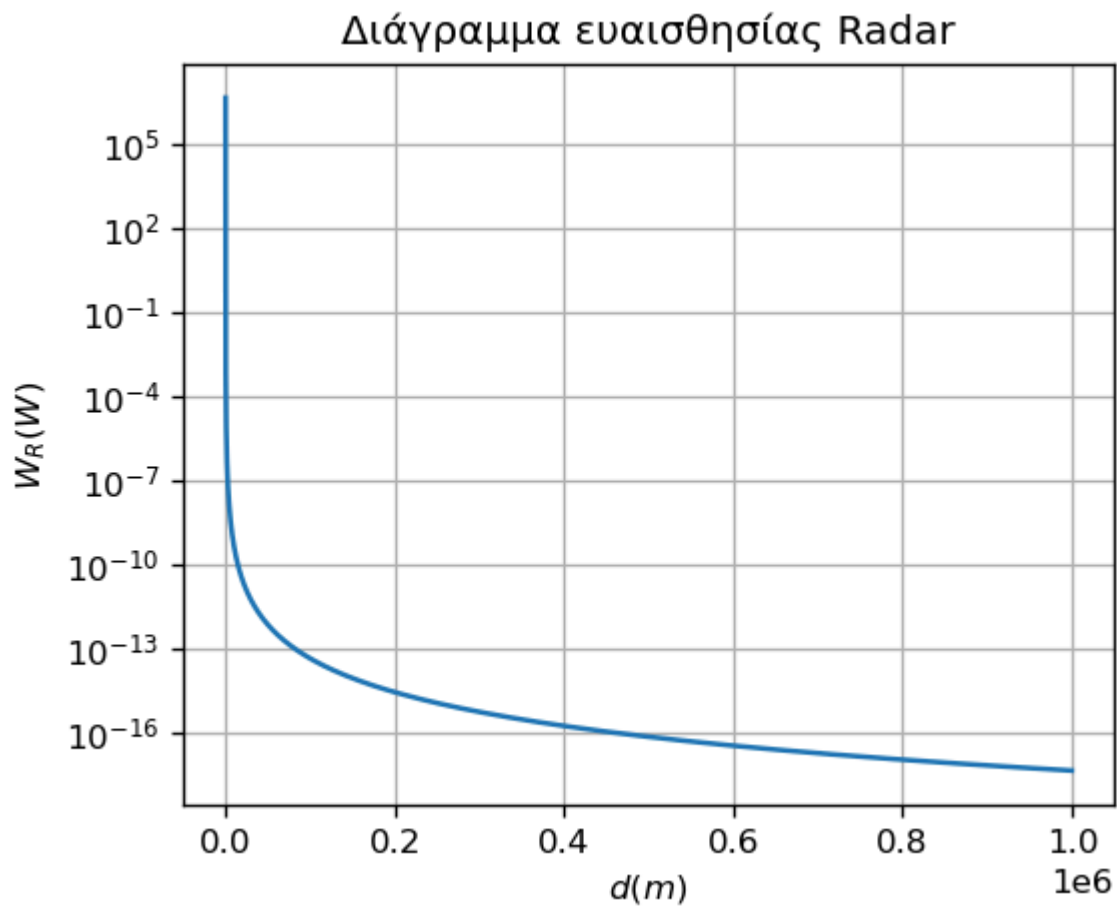
W_Rmin = 48.62 fW
W_Rmin_dBm = -103.13 dBm
```

```
In [ ]: d = np.linspace (1, 10**6, 10**5)
W_R = (W_T*G_T**2*σ*λ**2)/((4*np.pi)**3*(d**4))
print (d)
print (W_R)

[1.000000e+00 1.100009e+01 2.100018e+01 ... 9.999800e+05 9.999900e+05
 1.000000e+06]
[4.22724874e+06 2.88717327e+02 2.17353047e+01 ... 4.22758694e-18
 4.22741783e-18 4.22724874e-18]
```

```
In [ ]: fig = plt.figure(figsize=(5, 4), dpi=120)
plt.plot(d, np.full_like(d, W_R))
plt.yscale('log')
plt.grid()
plt.xlabel ('$d(m)$')
plt.ylabel ('$W_R(W)$')
plt.title ('Διάγραμμα ευαισθησίας Radar')
```

```
Out[ ]: Text(0.5, 1.0, 'Διάγραμμα ευαισθησίας Radar')
```



$$W_{R,min} = -100(dBm)$$
$$W_{R,min} = W_T \frac{G^2 \sigma \lambda^2}{(4\pi)^3 d_{max}^4} \Rightarrow d_{max} = \sqrt[4]{\frac{W_T G^2 \sigma \lambda^2}{(4\pi)^3 W_{R,min}}}$$

```
In [ ]: W_Rmin_dBm = -100
W_Rmin = 10**((W_Rmin_dBm-30)/10)
d_max = ((W_T*G_T**2*σ*λ**2)/((4*np.pi)**3*W_Rmin))**(1/4)
print (color.BOLD + 'W_Rmin =', W_Rmin, 'W', '=', W_Rmin*10**15, 'fW' + color.END)
print (color.BOLD + 'd_max =', '%.0f' % d_max, 'm', '=', '%.2f' % (d_max/10**3), 'km' + color.END)

W_Rmin = 1e-13 W = 100.0 fW
d_max = 80633 m = 80.63 km

W_Rmin = 100.0 fW
d_max = 80.63 km
```